

# ТАИНСТВО ЧИСЕЛ ЗОЛОТОЙ ПРОПОРЦИИ

## 4. Золотые полюса остроугольного треугольника

© Белянин В.С., апрель 2012 г. Все права защищены.

В предыдущих частях работы [1–3] сообщалось о необычных свойствах золотых чисел, их расщеплении и удивительной числовой последовательности, имеющей органическую связь с геометрическими фигурами. Настоящая статья является продолжением этих работ, позволяя глубже взглянуть на довольно неожиданные связи золотых чисел с фигурами на плоскости.

*Истина открыта для всех, ею никто не завладел.  
Немалая доля её останется и потомкам.*

Сенека (Младший)<sup>1</sup>

С любым треугольником связано много замечательных точек, прямых линий и окружностей. Другие геометрические фигуры содержат их гораздо меньше.

Начнем рассмотрение с треугольников, затем в последующих работах перейдем к квадрату, прямоугольникам и пятиугольнику. Рассмотрение проводится только для таких фигур, элементы которых каким-либо образом соединены с золотой пропорцией.

### ОСТРОУГОЛЬНЫЙ ЗОЛОТОЙ ТРЕУГОЛЬНИК

**23. Определение остроугольного золотого треугольника.** Логично назвать *золотым* треугольник со сторонами  $\Phi$ , 1 и  $\varphi$ , где  $\Phi = 1,618\dots$ ,  $\varphi = 0,618\dots$  – большое и малое золотые числа. Однако такой треугольник невозможен. Поэтому принято считать, что треугольник является золотым, если отношение двух его сторон равно  $\Phi$  или  $\varphi$ . В этом случае треугольник должен быть равнобедренный, а отношения его сторон –  $\Phi:\Phi:1$  или  $1:1:\Phi$ .

В этой статье рассмотрим золотой треугольник с отношениями сторон  $\Phi:\Phi:1$ . Пусть единице равна длина основания треугольника, а длину  $\Phi$  имеют боковые стороны (рис.1). Угол  $ABC = \theta$  в этом случае вычисляется по формуле

$$\theta = 2 \arcsin \left( \frac{AC}{2AB} \right) = 2 \arcsin \left( \frac{1}{2\Phi} \right) = 36^\circ,$$

или  $\theta = \pi/5$ . Соответственно углы при основании равны по  $72^\circ$  или  $2\pi/5$ .

В дальнейшем будем называть такой треугольник *остроугольным золотым треугольником*.

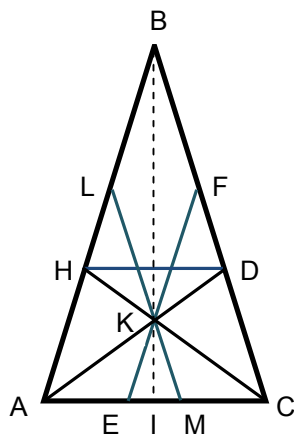


Рис. 1. Остроугольный золотой треугольник

**24. Определение золотого полюса.** В предыдущей публикации был определен золотой полюс такого треугольника. Повторю некоторые моменты, расширяя пояснения.

Вначале рассмотрим преобразования подобия.

Пусть  $\Pi^k$  – преобразование подобия (или подобие) с коэффициентом  $k \neq 1$ . Если  $k > 1$ , то  $k$  – коэффициент растяжения, если  $k < 1$ , то  $k$  – коэффициент сжатия.

Применим к исходному треугольнику ABC это преобразование при  $k = \varphi = 0.618\dots$ . Получим новый золотой треугольник. В силу подобия и удивительных свойств золотого треугольника пять таких треугольников могут быть расположены внутри исходного треугольника способами, представленными на рисунке, – это конгруэнтные треугольники HBD, ALM, EFC, CAD и HCA.

Боковые стороны этих треугольников конгруэнтны основанию AC исходного треугольника ABC в силу равенства коэффициента подобия  $k$  малому золотому числу  $\varphi$ . Стороны AD и CH треугольников CAD и HCA являются биссектрисами углов A и C вследствие того, что в золотом треугольнике углы при вершине и при основании относятся, как 1:2.

<sup>1</sup> Сенека Л.-А. Нравственные письма к Луцилию; Трагедии / Пер. С. Ошерова. – М.: Худож. лит., 1986. (Б-ка античной литературы). С.85 (письмо 33, 10). [Луций Анней Сенека (Младший) (ок.4 до н.э. – ок. 65 н.э.), писатель, философ-стоик].

Любопытно, точка К делит стороны треугольников, проходящие через неё, в золотой пропорции. Доказательство этого факта наиболее просто может быть осуществлено на основании свойства биссектрисы – она делит противоположащую сторону на отрезки, пропорциональные прилежащим сторонам треугольника.

Проследим процесс вписывания подобных треугольников дальше.

К желаемым результатам приводят треугольники CAD и HCA. В силу их симметричного расположения относительно высоты BI, рассмотрим только один треугольник –  $\triangle CAD$ .

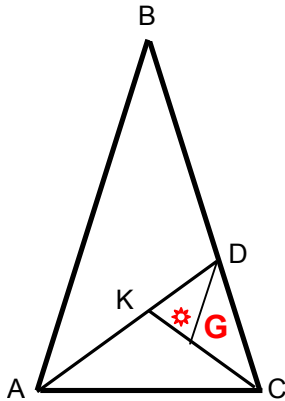


Рис. 2. Композиция подобных треугольников

Отобразим этот треугольник на  $\triangle DCK$  с коэффициентом подобия  $k = \varphi = 0.618\dots$  и расположим его внутри  $\triangle CAD$ , как это делалось в предыдущем случае (рис. 2).

Очевидно, при последовательном выполнении двух преобразований  $\Pi^\varphi$   $\triangle ABC$  отобразится на  $\triangle DCK$ , причем все расстояния изменятся в  $\varphi \cdot \varphi = \varphi^2$  раз, то есть

$$\Pi^\varphi \circ \Pi^\varphi = \Pi^{\varphi^2},$$

где « $\circ$ » – символ операции композиции.

Множественно повторяя эту композицию, получим множество последовательно уменьшающихся подобных треугольников вложенных по предложенному принципу друг в друга.

$$\underbrace{\Pi^\varphi \circ \Pi^\varphi \circ \dots \circ \Pi^\varphi}_n = \Pi^{\varphi^n}.$$

При бесконечно длительном продолжении этого дефляционного (© Р. Пенроуз) процесса последовательность какого-либо линейного размера этих треугольников дает пример переменной величины, которая в процессе её изменения неограниченно приближается к

нулю.

Допустим, наблюдение ведется за высотой исходного золотого треугольника  $BI = h$  (Рис.1). Уменьшение этой высоты при последовательных преобразованиях подобия дает следующую последовательность величин,

$$h, h\varphi, h\varphi^2, h\varphi^3, \dots, h\varphi^n, \dots \quad (n \rightarrow \infty),$$

которая представляет собой бесконечно убывающую геометрическую прогрессию. Знаменатель прогрессии  $\varphi < 1$ , поэтому

$$\lim_{n \rightarrow \infty} h\varphi^n = 0.$$

Следовательно, процесс вписывания треугольников асимптотически стремится к завершению в некоторой особой точке  $G$  ( $\dim G = 0$ ), принадлежащей всем золотым треугольникам.

*Асимптотическая точка*, к которой стремятся уменьшающиеся треугольники, но не достигают её, в работе [3] названа *золотым полюсом G*.

**25. Центально-подобный поворот вокруг золотого полюса G.** Рассмотренный процесс вписывания подобных треугольников в исходный треугольник можно представить иначе.

Вследствие того, что золотой полюс  $G$  принадлежит всем треугольникам для вписывания треугольников разумно сочетать подобие с поворотом вокруг этого центра.

Поворотом плоскости вокруг центра  $G$  назовем движение, для которого точка  $G$  является единственной инвариантной точкой (тождественное отображение).

Поворот переводит каждую точку с полярными координатами  $(r, \theta)$  в точку  $(r, \theta \pm \alpha)$ , где  $r$  – расстояние от центра поворота  $G$  до рассматриваемой точки,  $\theta$  – угол, который составляет отрезок  $r$  с полярной осью,  $\alpha$  – угол вращения, изменяющийся непрерывно. При повороте плоскости все прямые, проходящие через центр поворота  $G$ , в равной степени и лучи с общим началом  $G$  поворачиваются на один и тот же угол.

Введем обозначение:  $R_G^\alpha$  – поворот вокруг центра  $G$  на угол  $\alpha$ ,  $R_G^\alpha(M) = N$  – поворот вокруг центра  $G$  на угол  $\alpha$ , переводящий точку (прямую, луч, фигуру)  $M$  в точку (прямую, луч, фигуру)  $N$ .

Совместим подобие и поворот. Тогда центально-подобный поворот будет представлять собой композицию поворота  $R_G^\alpha$  вокруг центра  $G$  на угол  $\alpha$  и подобия  $\Pi^k$ , то есть композиция  $R_G^\alpha \circ \Pi^k$  будет переводить точку  $(r, \theta)$  в точку  $(kr, \theta \pm \alpha)$ .

Пусть коэффициент подобия  $k = \varphi$ , угол поворота  $\alpha = 108^\circ$ , осуществляемый против часовой стрелки. Тогда  $\triangle ABC$  отображается на  $\triangle CAD$ , вершина треугольника  $B$  переводится в вершину  $A$  (рис. 2).

Обозначим такой центрально-подобный поворот композицией  $R^{108^\circ}_G \circ \Pi^\varphi$ .

Продолжая этот процесс, будем иметь:  $\varphi^2$  – коэффициент подобия для поворота на угол  $2 \cdot 108^\circ$ ,  $\varphi^3$  – коэффициент подобия для поворота на угол  $3 \cdot 108^\circ$ , ...,  $\varphi^n$  – коэффициент подобия для поворота на угол  $n \cdot 108^\circ$ . Таким образом, центрально-подобный поворот  $R^{n \cdot 108^\circ}_G \circ \Pi^{\varphi^n}$ , переводит точку  $(r, \theta)$  в точку  $(\varphi^n \cdot r, \theta + n \cdot 108^\circ)$ .

Свойственный данному остроугольному золотому треугольнику угол  $108^\circ$  естественно назвать *характерным углом поворота*.

Если считать коэффициент подобия и угол поворота изменяющимися непрерывно и пропорционально, то центрально-подобный поворот будет отображать преобразование  $r \rightarrow \varphi^t \cdot r$  и  $\theta \rightarrow \theta + t$ , которое может быть выражено параметрическими уравнениями

$$r = \varphi^t \cdot a, \quad \theta = t,$$

где  $a$  – начальное положение точки на полярной оси ( $r_0 = a$ ),  $t$  – независимая вещественная переменная. Отсюда без труда выводится уравнение кривой в полярных координатах

$$r = a \cdot \varphi^\theta.$$

Таким образом, при центрально-подобном повороте траектория какой-либо начальной точки  $(a, 0)$  описывается *логарифмической спиралью*.

Полученный результат означает, что вершины  $B, A, C, D, K, F, E$  и т. д. соответствующих треугольников лежат на логарифмической спирали (рис. 3).

Если полярную ось направить вдоль отрезка  $GB$ , то уравнение золотой логарифмической спирали в полярных координатах будет иметь вид

$$r = \frac{1}{\varphi \sqrt{3 - 2\varphi}} \varphi^{\frac{5}{3\pi}\theta}.$$

**26. Второй золотой полюс.** Выше использован центрально-подобный поворот против часовой стрелки. В силу осевой симметрии исходного остроугольного золотого треугольника подобный поворот по часовой стрелке приведет к аналогичному золотому полюсу. Он будет расположен в левой части треугольника, симметрично центру поворота  $G$ .

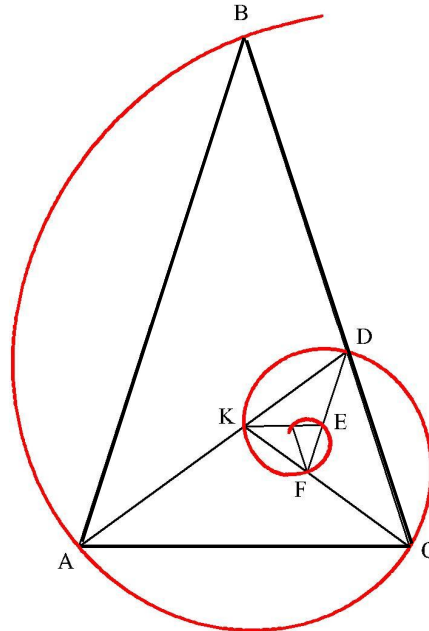


Рис. 3. Золотая логарифмическая спираль с центром в золотом полюсе  $G$

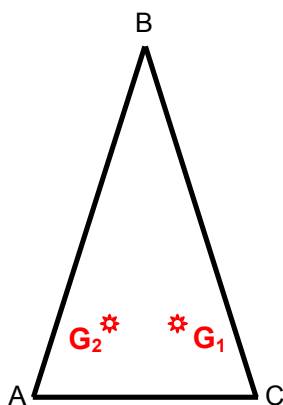
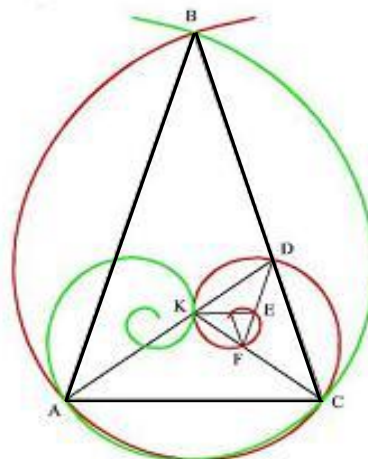


Рис. 4. Золотые полюса и золотые спирали треугольника



Чтобы различить эти центры обозначим их  $G_1$  и  $G_2$ , называя первым и вторым золотыми полюсами (рис. 4). Они обладают одинаковыми функциями в структуре треугольника и порождают разнонаправленные золотые логарифмические спирали..

Ниже будет показано, что эти полюса с их необычными свойствами единственны.

**27. Геометрическое нахождение золотого полюса. 1.** Допустим положение *первого золотого полюса*  $G_1$  известно. Проведем прямые через этот полюс и вершины исходного треугольника –  $AM$  и  $BN$  (рис. 5). Отрезок  $AM$  в  $\triangle CAD$  является аналогом отрезка  $BN$  в  $\triangle ABC$ .

Композиция  $R^{108}_{G_1}(BN) \circ \Pi^\varphi = AM$ . Композиция  $R^{5 \cdot 108}_{G_1}(G_1B) \circ \Pi^\varphi = G_1F$ . При этом  $\triangle ABC$  отображается на  $\triangle EFH$ . Лучи  $G_1B$  и  $G_1F$  лежат на прямой  $BN$ .

Эта же композиция отображает луч  $G_1A$  на луч  $G_1E$ , а  $\triangle CAD$  отображается на  $\triangle HEJ$ . Оба луча лежат на прямой  $AM$ .

При этой композиции подобные треугольники  $ABC$  и  $EFH$  оказываются повернутыми один относительно другого на  $180^\circ$ . Аналогично повернуты треугольники  $CAM$  и  $HEJ$ .

Поэтому для геометрического нахождения золотого полюса  $G_1$  достаточно выполнить последовательное построение треугольников от  $ABC$  до  $EFH$  и  $HEJ$ .

Затем через вершины треугольников  $F$  и  $E$  провести соответственно линии  $BN$  и  $AM$ .

Пересечение этих линий даёт местонахождение первого золотого полюса  $G_1$ .

**28. Геометрическое нахождение золотого полюса. 2.** Приведу ещё один способ построения первого золотого полюса. Он значительно проще, представленного выше.

Используем композицию  $R^{2 \cdot 108}_{G_1}(G_1B) \circ \Pi^\varphi = G_1C$ . Продолжим линию  $G_1C$  до пересечения со стороной  $AB$  в точке  $P$  (рис. 6 а). Угол  $PG_1B = 36^\circ$ , угол  $PG_1A = 72^\circ$ , что следует из примененной композиции. Площадь  $\triangle PG_1B$  равна  $S_{PG_1B} = 0,5PG_1 \cdot G_1B \cdot \sin 36^\circ$ , площадь  $\triangle PG_1A$  равна  $S_{PG_1A} = 0,5PG_1 \cdot G_1A \cdot \sin 72^\circ$ . Вследствие того, что отрезок  $G_1A = \varphi \cdot G_1B$  и  $\sin 36^\circ = \varphi \cdot \sin 72^\circ$ , то  $S_{PG_1B} = S_{PG_1A}$ . Из равенства площадей треугольников следует, что  $AP = PB$ . Поэтому отрезок  $CP$  является медианой треугольника  $ABC$ . Эта медиана проходит через первый золотой полюс  $G_1$ .

Композиция  $R^{108}_{G_1}(ABC) \circ \Pi^\varphi = CAD$  (рис. 5). Следовательно, через золотой полюс  $G_1$  будет проходить медиана  $DR$  треугольника  $CAD$ .

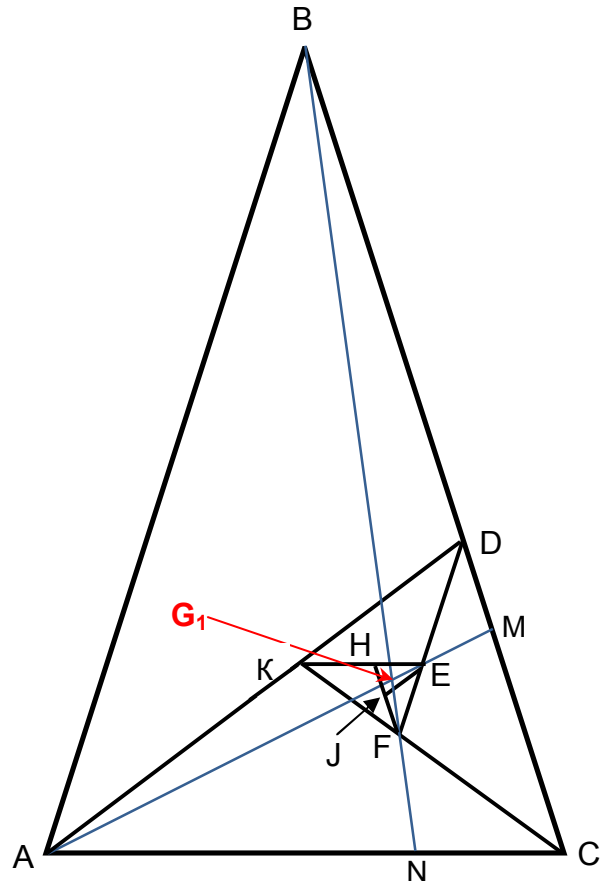
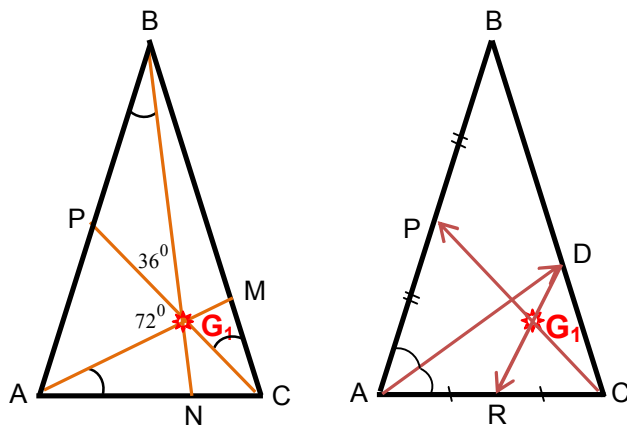


Рис. 5. Геометрическое нахождение золотого полюса  $G_1$  остроугольного золотого треугольника



а) б)  
Рис. 6. Геометрическое нахождение первого золотого полюса  $G_1$  остроугольного золотого треугольника

Полученные результаты позволяют сформулировать наиболее простой способ построения первого золотого полюса.

Для нахождения первого золотого полюса  $G_1$  достаточно в треугольнике  $ABC$  провести биссектрису  $AD$  и провести две медианы  $CP$  и  $DR$  (рис 5.б).

Первый золотой полюс  $G_1$  лежит в пересечении прямых  $CP$  и  $DR$ .

**29. Золотой полюс  $G_1$  (= точка Брокара).** Наблюдение остроугольного золотого треугольника открывает одну замечательную особенность первого золотого полюса  $G_1$  – углы  $ABG_1$ ,  $CAG_1$  и  $BCG_1$  равны (рис. 7). Обозначим их величину буквой  $\delta$ .

Покажем равенство отмеченных углов. Первые два угла равны  $\delta$  потому, что треугольники  $AG_1B$  и  $AG_1C$  подобны. В треугольнике  $CG_1B$  угол  $CG_1B$  равен  $144^\circ$ , так как  $R^{2 \cdot 108}_{G_1}(G_1B) \circ \Pi^{\varphi^2} = G_1C$ . Поэтому угол  $BCG_1$  равен  $36^\circ - (36^\circ - \delta) = \delta$ . Итак, все три отмеченные угла равны  $\delta$ .

В 1816 г. немецким математиком и архитектором Августом Крелле (1780–1855) была поставлена и решена задача найти в треугольнике  $ABC$  точку  $\Omega$  так, чтобы угол  $\Omega AB =$  угол  $\Omega BC =$  угол  $\Omega CA$ .

В 1875 году французский математик Анри Брокар (1845–1922) поставил и решил подобную задачу нахождения точки  $\Omega$ . Брокар являлся автором наиболее полного справочника по замечательным кривым.

Точку  $\Omega$  обычно называют *точкой Брокера*, а угол  $\delta$ , равный каждому из углов  $\Omega AB$ ,  $\Omega BC$  и  $\Omega CA$ , называют *углом Брокера*.

Было бы правильнее исправить сохраняющуюся несправедливость и называть точку  $\Omega$  точкой Крелле–Брокера<sup>2</sup>.

Приведенный краткий экскурс в историю математики показывает, что первый золотой полюс  $G_1$  совпадает с точкой Брокера. Отсюда следует вывод, все свойства точки Брокера свойственны и золотому полюсу в золотом треугольнике.

Заключая этот пункт, назовем угол  $\delta$  *углом золотого полюса*.

### 30. Геометрическое нахождение второго золотого полюса.

С углом золотого полюса  $\delta$  связано одно интересное преобразование, позволяющее по первому золотому полюсу  $G_1$  геометрически построить второй золотой полюс  $G_2$ .

Отобразим отрезки  $AG_1$ ,  $BG_1$  и  $CG_1$  относительно биссектрис углов  $A$ ,  $B$  и  $C$ . Полученные отрезки сходятся во втором золотом полюсе  $G_2$  (рис. 8). Доказательство этого утверждения можно найти в книге [4]. Ограничусь несколькими дополнительными замечаниями.

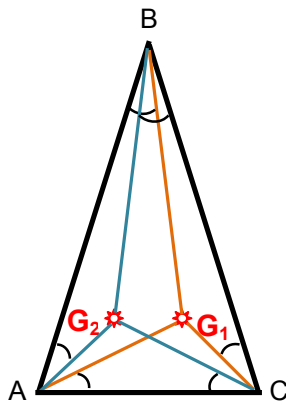


Рис. 8. Золотые полюса треугольника

Преобразование  $G_1 \rightarrow G_2$  обратимо, то есть примененное к полюсу  $G_2$  оно дает полюс  $G_1$ :  $G_2 \rightarrow G_1$ .

Преобразования  $G_1 \leftrightarrow G_2$  называют изогональным сопряжением, а центры  $G_1$  и  $G_2$  изогонально сопряженными.

Для остроугольного золотого треугольника существует ровно один первый золотой полюс, а также ровно один второй золотой полюс [4].

**31. Вычисление угла золотого полюса.** Рассмотрим угол золотого полюса  $\delta = \angle PCB$  (рис. 7). Отрезок  $CP$  является медианой треугольника  $ABC$ . Её длина вычисляется по формуле

$$CP^2 = m_c^2 = \frac{2a^2 + 2b^2 - c^2}{4} = \frac{\Phi + 3}{4}.$$

Используя это значение медианы и теорему косинусов для треугольника  $BSP$ , получаем формулу для расчета угла золотого полюса

$$\cos \delta = \frac{(3\Phi - 1)\sqrt{\Phi + 3}}{2(\Phi + 3)} = \frac{(3 - \varphi)\sqrt{3 - 2\varphi}}{2\varphi(1 + 3\varphi)}.$$

Расчёт даёт следующее значение искомого угла золотого полюса для остроугольного золотого треугольника:

$$\delta \approx 26,27^\circ \approx 26^\circ 16'$$

**32. Тригонометрические функции угла золотого полюса.** 1. Используя значение косинуса угла  $\delta$  и основное тригонометрическое тождество, получаем выражение для синуса угла золотого полюса

<sup>2</sup> Внимательный любитель математики вполне найдет параллель между общепринятым названием этой точки и названием формулы Бернулли–Бине, о чем говорилось в статье [2].

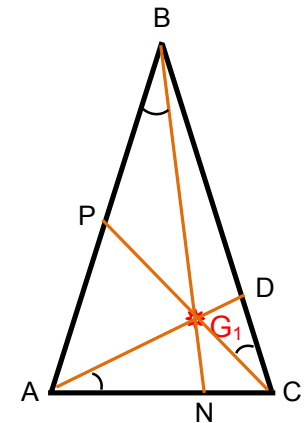


Рис. 7. Соответствие золотого полюса  $G_1$  точке Крелле–Брокера



$$\sin \delta = \frac{\sqrt{6\Phi + 7}}{2(\Phi + 3)} = \frac{\sqrt{7 - \varphi}}{2(1 + 3\varphi)}$$

2. Зная выражения для синуса и косинуса угла золотого полюса можно получить формулы для других тригонометрических функций. Приведу без вывода выражение только для котангенса

$$ctg\delta = ctgA + ctgB + ctgC = 2ctg72^\circ + ctg36^\circ = ctg\left(\frac{4 - \Phi}{\sqrt{3 - \Phi}}\right) = ctg\left(\frac{4\varphi - 1}{\sqrt{3 - 4\varphi}}\right)$$

**33. Тригонометрические тождества.** С углом золотого полюса  $\delta$  можно связать несколько тригонометрических тождеств.

1. Стороны треугольника  $BG_1C$  (рис. 7) пропорциональны синусам противолежащих углов (теорема синусов)

$$\frac{BG_1}{CG_1} = \frac{\sin \delta}{\sin(B - \delta)}, \quad \frac{CG_1}{AG_1} = \frac{\sin \delta}{\sin(C - \delta)}, \quad \frac{AG_1}{BG_1} = \frac{\sin \delta}{\sin(A - \delta)}$$

Перемножая представленные равенства, получаем

$$\frac{\sin^3 \delta}{\sin(A - \delta) \sin(B - \delta) \sin(C - \delta)} = \frac{\sin^3 \delta}{2 \sin(72^\circ - \delta) \sin(36^\circ - \delta)} = 1.$$

2. Обозначим радиусы окружностей, описанных около треугольников  $BG_1C$ ,  $AG_1C$ , и  $AG_1B$ , соответственно через  $R_a$ ,  $R_b$  и  $R_c$ . Отношение стороны треугольника к синусу противолежащего угла равно диаметру описанной окружности. Следовательно

$$AG_1 = 2R_c \sin \delta, \quad BG_1 = 2R_a \sin \delta, \quad CG_1 = 2R_b \sin \delta.$$

Из данных равенств вытекает, что

$$AG_1 \cdot BG_1 \cdot CG_1 = 8R_a R_b R_c \sin^3 \delta.$$

3. Стороны треугольника  $ABC$  можно выразить следующим образом

$$BC = 2R_a \sin BG_1C = 2R_a \sin(180^\circ - \delta - B + \delta) = 2R_a \sin B,$$

$$AC = 2R_b \sin C, \quad AB = 2R_c \sin A.$$

Перемножим эти равенства

$$AC \cdot BC \cdot AB = 8R_a R_b R_c \sin A \sin B \sin C.$$

Пусть  $R$  – радиус описанной окружности около треугольника  $ABC$ ,  $S$  – площадь этого треугольника, тогда  $AC \cdot BC \cdot AB = 4RS$  и  $S = 2R^2 \sin A \cdot \sin B \cdot \sin C$ , поэтому получаем следующую изящную зависимость

$$R^3 = R_a R_b R_c.$$

4. Объединяя результаты пунктов 2 и 3, приходим к ещё одному любопытному равенству

$$AG_1 \cdot BG_1 \cdot CG_1 = 8R^3 \sin^3 \delta.$$

5. С золотым полюсом  $G_1$  связана композиция  $R_{G_1}^{108}(BN) \circ \Pi^\varphi = AM$ , поэтому вокруг него углы распределяются, как показано на рис. 9.

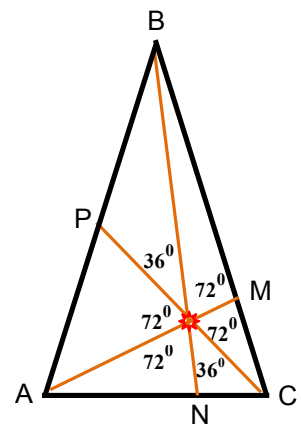


Рис. 9. Распределение углов вокруг золотого полюса  $G_1$ .

Одна часть прямой AM, проходящей через точку  $G_1$ , а именно отрезок  $AG_1$ , является биссектрисой угла  $PG_1M$ , другая часть этой прямой – отрезок  $G_1M$ , является биссектрисой угла  $BG_1C$ .

**34. Педальный (подёрный) треугольник.** В остроугольном золотом треугольнике ABC неожиданным образом обнаруживается причудливо расположенный треугольник, подобный исходному треугольнику. Нахождение этого треугольника стало возможно благодаря открытию золотого полюса.

Рассмотрим педальный треугольник  $A_1B_1C_1$ , вершинами которого являются проекции золотого полюса  $G_1$  на стороны  $\triangle ABC$  (рис. 10).

Покажем, что педальный треугольник точки  $G_1$  относительно остроугольного золотого треугольника подобен последнему.

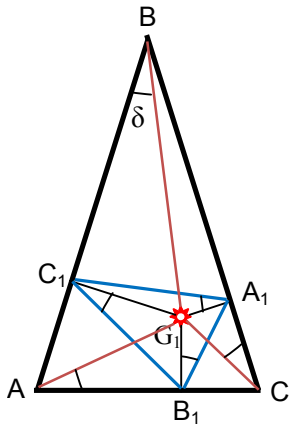


Рис. 10. Педальный треугольник  $A_1B_1C_1$ .

Опишем окружности около каждого из полученных четырехугольников  $AB_1G_1C_1$ ,  $BC_1G_1A_1$  и  $CA_1G_1B_1$ . Отрезки  $AG_1$ ,  $BG_1$  и  $CG_1$  являются диаметрами этих окружностей. Пусть  $B_1C_1 = a_1$ ,  $A_1C_1 = b_1$  и  $A_1B_1 = c_1$ , тогда

$$\frac{a_1}{\sin A} = AG_1, \quad \frac{a}{\sin A} = 2R, \quad \rightarrow \quad \frac{a_1}{a} = \frac{AG_1}{2R},$$

где  $R$  – радиус описанной около  $\triangle ABC$  окружности. Аналогично

$$\frac{b_1}{b} = \frac{BG_1}{2R}, \quad \frac{c_1}{c} = \frac{CG_1}{2R}.$$

Так как  $R^{108}_{G_1}(BG_1) \circ \Pi^\varphi = AG_1$  и  $R^{2 \cdot 108}_{G_1}(BG_1) \circ \Pi^{\varphi^2} = CG_1$ , то из приведенных выше равенств получаем

$$a_1 / b_1 = 1, \quad a_1 / c_1 = \Phi, \quad b_1 / c_1 = \Phi.$$

Следовательно,  $\triangle A_1B_1C_1$  является равнобедренным и подобен  $\triangle ABC$ .

Остается выяснить коэффициент сжатия  $k$ . В равенства

$$\frac{a_1}{a \cdot AG_1} = \frac{b_1}{b \cdot BG_1} = \frac{c_1}{c \cdot CG_1} = \frac{1}{2R}$$

подставим значения  $AG_1$ ,  $BG_1$  и  $CG_1$  (см. п. 9). В итоге получим

$$\frac{a_1}{c} = \frac{b_1}{a} = \frac{c_1}{b} = \sin \delta.$$

Таким образом,  $\triangle A_1B_1C_1$  и  $\triangle ABC$  подобны с коэффициентом подобия  $k = \sin \delta \approx 0,4426$ .

Последнее равенство позволяет записать формулу для отношения площадей этих треугольников

$$\frac{S_{A_1B_1C_1}}{S_{ABC}} = \sin^2 \delta.$$

В силу того, что при преобразовании подобия сохраняются отношения отрезков и величины углов, то треугольник проекций  $A_1B_1C_1$  золотого полюса  $G_1$  и исходный треугольник ABC имеют равные углы золотого полюса  $\delta$ .

Полученные результаты интересны тем, что обнаруживают в остроугольном золотом треугольнике замысловато расположенный подобный треугольник. Причем, между этими треугольниками возможен центрально-подобный поворот вокруг золотого полюса треугольника ABC. Композиция, переводящая один треугольник в другой, выглядит следующим образом:

$$R^{90-\delta}_{G_1}(BG_1) \circ \Pi^{\sin \delta} = C_1G_1.$$

Вполне возможно, дальнейшее исследование педального треугольника  $A_1B_1C_1$  откроет взору математиков неизведанные глубины связи этого треугольника с исходным остроугольным золотым треугольником ABC.

Вне всякого сомнения, результаты этого пункта в геометрическом смысле справедливы и для второго золотого полюса  $G_2$ .

**35. Окружностно-подобный золотой треугольник.** Этот пункт посвящен до сих пор неизвестному свойству остроугольного золотого треугольника. Речь пойдет о том, каким необычным образом в первом золотом полюсе  $G_1$  обнаруживается второй золотой полюс  $G_2$ , принадлежащий другому треугольнику.

Опишем около треугольника  $ABC$  окружность (рис. 11). Отметим точки повторного пересечения прямых линий  $AG_1$ ,  $BG_1$  и  $CG_1$  с описанной окружностью. Обозначим эти точки соответственно  $A_2$ ,  $B_2$  и  $C_2$ . Соединим их отрезками и докажем, что полученный треугольник  $A_2B_2C_2$  подобен исходному треугольнику  $ABC$ .

Угол  $ACC_2$  равен углу  $AA_2C_2$ , а угол  $BCC_2 =$  угол  $AA_2B_2 = \delta$ . Следовательно, углы  $ACB$  и  $B_2A_2C_2$  равны.

Угол  $CBV_2$  равен углу  $CC_2B_2$ , а угол  $ABV_2 =$  угол  $CC_2A_2 =$  угол  $CAA_2 = \delta$ . Следовательно, углы  $ABC$  и  $A_2C_2B_2$  равны.

Это означает, что треугольники  $ABC$  и  $A_2C_2B_2$  подобны. На самом деле доказано большее. Так как эти треугольники вписаны в одну окружность – они не только подобны, они равны.

Общий итог, – треугольники  $ABC$  и  $A_2B_2C_2$  равны между собой и подобны треугольнику  $A_1B_1C_1$ .

Назовем полученный треугольник  $A_2C_2B_2$  *окружностно-подобным остроугольным золотым треугольником*. Такое название восходит к методу построения этого треугольника.

Полученные в этом разделе результаты приводят к двум следствиям.

Из построения окружностно-подобного остроугольного золотого треугольника  $A_2C_2B_2$  следует, что его второй золотой полюс  $G_2$  совпадает с первым золотым полюсом  $G_1$  исходного треугольника  $ABC$ . Этот результат можно объяснить и тем, что золотые полюса  $G_1$  и  $G_2$  являются изогонально сопряженными.

Треугольник  $A_2C_2B_2$  можно получить, поворачивая треугольник  $ABC$  против часовой стрелки вокруг центра описанной окружности на двойной угол золотого полюса, то есть на угол  $2\delta \approx 52,54^\circ$ .

Итак, золотой полюс  $G_1$  треугольника  $ABC$  и описанная окружность около этого треугольника порождают окружностно-подобный остроугольный золотой треугольник  $A_2C_2B_2$ , золотой полюс  $G_2$  которого совпадает с золотым полюсом  $G_1$  треугольника  $ABC$ .

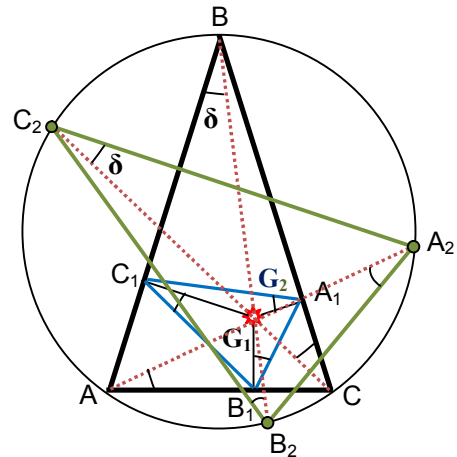


Рис. 11. Окружностно-подобный треугольник  $A_2B_2C_2$ .

**36. Напоминание.** В предыдущей работе [1] впервые было показано, что большое и малое числа золотой пропорции  $\Phi$  и  $\phi$  естественным образом *расщепляются* на другие иррациональные числа

$$\Phi = 1,618033... = \Phi_2 + \Phi_0 = 1,170820... + 0,447213... = \Phi_1 + 2\Phi_0 = 0,723606... + 0,894427...$$

и

$$\phi = 0,618033... = \phi_2 + \phi_0 = 0,170820... + 0,447213... = \phi_1 + 2\phi_2 = 0,276393... + 0,341640...$$

Обнаруженное расщепление вскрыло гармоничную внутреннюю структуру золотых чисел. Помимо этого оно породило *золотую последовательность*  $\Phi G$ , простирающуюся в обе стороны от ядра  $\Phi_0 = \phi_0 = 1/\sqrt{5} = 0,447213... [2]$ . Начальные члены этой последовательности, расходящиеся от этого ядра, представляются следующими иррациональными числами

$$... 0,105572..., 0,170820..., 0,276393..., \mathbf{0,447213...}, 0,723606..., 1,170820..., 1,894427..., ...$$

В настоящее время любители золотого сечения публикуют различные последовательности, так или иначе связанные с золотыми числами. Все эти последовательности имеют искусственное происхождение, возникая в угоду какой-либо заранее придуманной задачи.

Отличие золотой последовательности  $\Phi G$  от других заключено в том, что она рождается непринужденным образом в недрах золотых чисел  $\Phi$  и  $\phi$ , а её члены удивительным образом



непосредственно связаны с золотым полюсом геометрических фигур. Это говорит о глубоких корнях и естественном происхождении последовательности  $\Phi G$ .

**37. Координаты золотых полюсов.** Координаты золотых полюсов  $G_1$  и  $G_2$  можно определить аналитически.

Поместим начало прямоугольной системы координат в вершину  $A = A(0, 0)$  треугольника  $ABC$  (рис. 12). Если длина стороны  $AC$  равна единице, а длины сторон  $AB$  и  $BC$  равны  $\Phi$ , то абсциссы и ординаты точек  $G_1(x_1, y_1)$  и  $G_2(x_2, y_2)$  имеют следующие значения:

$$x_1 = \frac{3-\varphi}{6-4\varphi} = 0.675186 \dots, \quad y_1 = \frac{\sqrt{2-\varphi}}{6-4\varphi} = 0.333224 \dots,$$

$$x_2 = \frac{3-3\varphi}{6-4\varphi} = 0.324813 \dots, \quad y_2 = \frac{\sqrt{2-\varphi}}{6-4\varphi} = 0.333224 \dots$$

Так как золотые полюса симметричны относительно большей высоты  $h$  треугольника  $ABC$ , то вполне естественно  $x_1 + x_2 = 1$ . Примечательно отношение этой высоты треугольника к значению ординаты золотых полюсов,  $-h/y_1 = h/y_2 = \Phi + 3 = 4,618033 \dots$

**38. Аналитическое решение геометрических задач.** Соединим вершины треугольника  $ABC$  с противоположными сторонами, проведя отрезки через золотой полюс  $G_1$ . Точки  $A'$  и  $B'$  делят соответственно стороны треугольника  $BC$  и  $AC$  на отрезки в отношении  $1:\Phi^2$ , а точка  $C'$  – сторону  $AB$  на отрезки в отношении  $1:1$  (линия  $CC'$  – медиана). Отрезки на сторонах треугольника имеют следующие значения

$$AB' = \Phi/\sqrt{5} = 0,732606\dots, \quad B'C = \Phi^{-1}/\sqrt{5} = 0,267393\dots, \quad CA' = \Phi^0/\sqrt{5} = 1/\sqrt{5} = 0,447213\dots,$$

$$A'B = \Phi^2/\sqrt{5} = 1,170820\dots, \quad BC' = \Phi/2 = 0,809016\dots, \quad C'A = \Phi/2 = 0,809016\dots$$

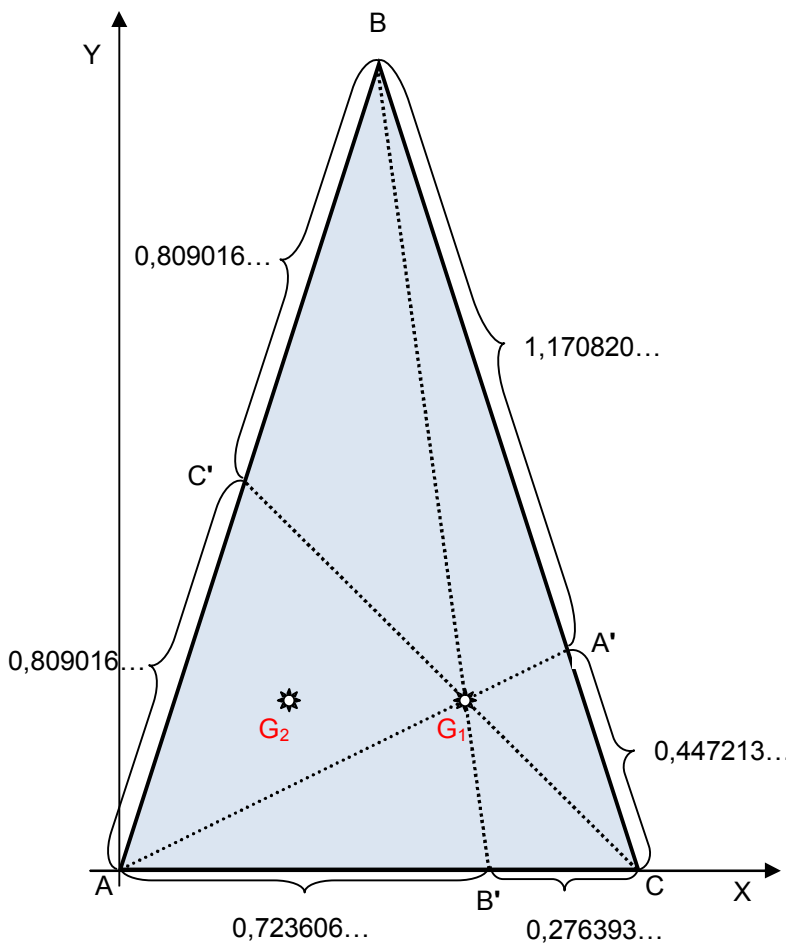


Рис. 12. Связь членов золотой последовательности  $\Phi G$  с разбиением сторон остроугольного золотого треугольника через золотой полюс  $G_1$ .

Все числа, кроме половины большего золотого числа  $0,809016\dots$  являются членами золотой последовательности  $\Phi G$ .

Для второго золотого полюса  $G_2$  справедливы аналогичные зеркальные разбиения сторон треугольника.

Следует отметить одну особенность, присущую треугольникам, полученным в результате проведения отрезков  $AA'$ ,  $BB'$  и  $CC'$ .

Площадь треугольника  $ABC$  разбита на две пары подобных треугольников. Подобны треугольники  $ABA'$  и  $B'G_1C$ , а так же подобны треугольники  $AG_1B'$  и  $CG_1A'$ . Коэффициент сжатия  $k$  (подобия) двух первых треугольников равен  $\frac{\sqrt{5-2\Phi}}{\Phi+3} \approx 0,288$ , а двух последних –  $\varphi \approx 0,618$ .

Если соединить точки  $A'$  и  $B'$ , то получим треугольник  $B'A'C$ ,

подобный исходному с коэффициентом сжатия  $k = 1/(\Phi+2) \approx 0,277$ .

Подводя итог проведенному исследованию скажу, что числа золотой последовательности  $\Phi G$ , значения координат золотых полюсов  $x_1, x_2, y_1 (y_2)$  и геометрические свойства остроугольного золотого треугольника говорят об их глубокой взаимной связи.

#### ЛИТЕРАТУРА

1. *Белянин В.С.* Таинство чисел золотой пропорции. 1. Тонкая структура // Математические и исторические исследования гармонии и красоты в природе и искусстве. – 2011.

<http://www.artmatlab.ru/articles.php?id=18&sm=2>

2. *Белянин В.С.* Таинство чисел золотой пропорции. 2. Удивительная числовая последовательность // Математические и исторические исследования гармонии и красоты в природе и искусстве. – 2011. <http://www.artmatlab.ru/articles.php?id=21&sm=2>

3. *Белянин В.С.* Таинство чисел золотой пропорции. 3. Секрет золотого полюса // Математические и исторические исследования гармонии и красоты в природе и искусстве. – 2011. <http://www.artmatlab.ru/articles.php?id=33&sm=2>

4. *Прасолов В.В.* Точки Брокера и изогональное сопряжение (Серия «Библиотека «Математическое просвещение»). – М.: МЦНМО, 2000.